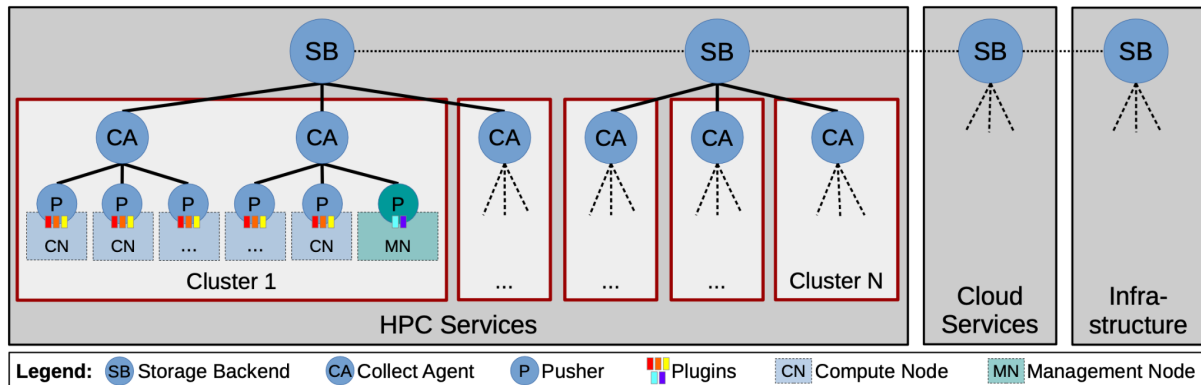


# DCDB und EAR

## Data Center Data Base (DCDB)

- Open Source Monitoringlösung des LRZ, 2019
- Integration von HPC mit Data Center und Resource Management Systemen
- Sammeln, Verwalten und Speichern von Gebäude-, System- und Applikationsdaten



Quelle: Netti et. al, From Facility to Application Sensor Data

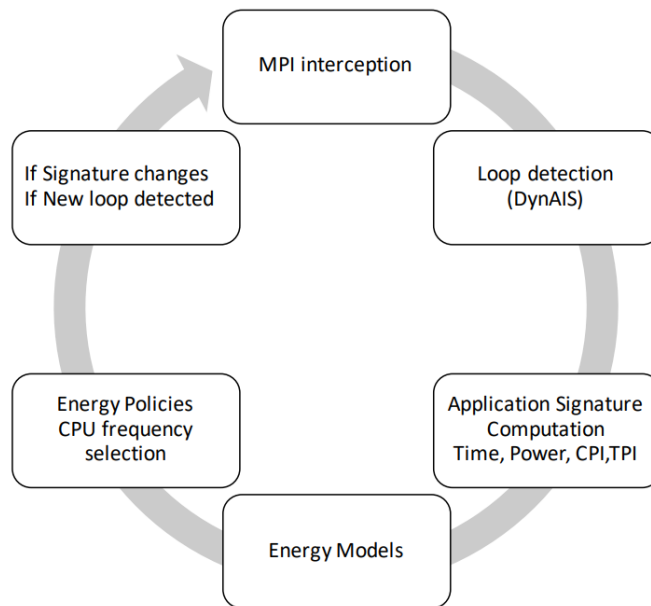
- **Pusher** sammeln und veröffentlichen **Plugin** Daten (*Sensors*) mit MQTT
- **Collector Agents** sammeln Sensors von Pushern und verteilen diese an Subscriber
- MQTT als Transportprotokoll, Publish-Subscribe Modell mit **Hierarchie**
- **Storage Backend** als Subscriber aller Pusher-Topics, Apache Cassandra: verteilte DB
- Evaluiert auf Produktionssystemen
  - MPI-Benchmarks: Overhead im Regelfall unter 3%
  - Single Node HPL: Cores bzw. Sensors vs. Single-Core-Performance Tradeoff
  - Collector Agent CPU-Load auf separaten Nodes: 9 Cores bei  $5 \cdot 10^5$  Sensors/s

Examon, EEESlab 2017	LDMS, NCSA 2014	Ganglia, UCL 2004
<ul style="list-style-type: none"> <li>• MQTT-Broker, Hierarchie</li> <li>• Cassandra DB</li> <li>• Grafana</li> <li>• “On-line live ML”, Analysen, Power-Modeling</li> <li>• Fehlende Modularität / Plugins (Nach DCDB Autoren)</li> <li>• CINECA Eurora und GALILEO</li> <li>• Collector auf: 8 Nodes, 128 Cores               <ul style="list-style-type: none"> <li>◦ 0.02 Hz: &lt; 10% core</li> <li>◦ 1 Hz: &lt; 1% core</li> </ul> </li> </ul>	<ul style="list-style-type: none"> <li>• Plugin basiert</li> <li>• Hierarchische Aggregation</li> <li>• Pull - RDMA, IB, Socket</li> <li>• Storage Plugins: MySQL, flat file, proprietäres Format</li> <li>• Kein Fokus auf individuelle Anpassungen (DCDB Autoren)</li> <li>• Blue Waters: 27.648 Nodes, 392.032 Cores</li> <li>• Einfluss auf Blue Waters, SNL Capacity Systems: “nicht signifikant” bis 1Hz</li> </ul>	<ul style="list-style-type: none"> <li>• Vorgegebene und applikationsbasierte Metriken</li> <li>• Multicast zwischen Nodes</li> <li>• Tree-based zwischen Clustern</li> <li>• Daten in XDR form</li> <li>• RRDtool: Visualisierung, Speicherung</li> <li>• “Läuft auf tausenden Clustern”</li> <li>• Overhead evaluiert bis 2000 Nodes und 42 Cluster               <ul style="list-style-type: none"> <li>◦ Lokal: &lt; 0.4%</li> <li>◦ Aggregation: &lt; 1.1%</li> </ul> </li> </ul>

## Energy Aware Runtime (EAR)

- Energy Management Framework von BSC + Lenovo, 2017
- Energy-Kontrolle, -Monitoring, -**Optimierung** (MPI+OpenMP)
- Läuft auf SURF Innovation Labs Snellius und seit 2019 auf LRZ SuperMUC(-NG)

## EAR Library (EARL)



Quelle: Corbalan et. al, Energy Optimization and Analysis with EAR

### 1. Dynamic Application Iterative Structure Detection Algorithm (**DynAIS**)

- Vergleicht EventID **für jeden MPI-Call** mit  $N$  letzten Calls
- Gibt Status NEW\_LOOP, NEW\_ITERATION, END\_LOOP zurück

### 2. Erhebung der **Applikations-Signatur** (CPI, TPI, Power, Time) pro Loop-Phase

### 3. Anwendung des Energie- bzw. **Zeit-Modells** (**System-Signatur** $A_i \dots F_i$ für Frequenzen $f_i$ bei Installation mit Benchmarks und linearer Regression erlernt)

### 4. Evaluierung der gewählten **Energy-Policy** und **Wahl der Frequenz**

- MIN\_ENERGY:  $perf\_degr\_threshold \geq (TimeNew - Time) / Time$
- MIN\_TIME:  $min\_ratio\_threshold \leq PerfGain / FreqGain$

### 5. **Validierung der Frequenzwahl**, Energie- und Zeitprojektion in nächster Loop-Phase

- Energie-Modell stammt von IBM LoadLeveler (2011)
  - Einführung 2019 auf LRZ SuperMUC mit 6% Stromeinsparung (200.000 €/a)
- EAR Evaluation
  - Memory-Bound: bis zu 14% Stromeinsparungen mit 1% längerer Laufzeit
  - Compute-Bound: Hohe Frequenzabhängigkeit → Kleinere Stromeinsparungen (2%)
  - Ausnahme hoher AVX512-Anteil: Vektorisierte Anweisungen weniger von niedrigeren Frequenzen betroffen, bis zu 10% Einsparung bei 3% längerer Laufzeit